

## آنالیز داده‌های ترانسکریپتوم زعفران در راستای بیان ژن‌های دخیل در مسیر

### بیوسنتزی فنیل پروپانویید

محبوبه دهقان<sup>۱</sup>، مسعود توحیدفر<sup>۲\*</sup>

### چکیده

زعفران امروزه به عنوان یک گیاه استراتژیک در کشاورزی محسوب می‌شود. این گیاه به عنوان گران‌ترین ادویه جهان شناخته می‌شود و علاوه بر خواص مختلف خوارکی از دیرباز در طب سنتی مورد استفاده قرار گرفته است. یکی از مهم‌ترین خواص دارویی زعفران برای جلوگیری و درمان سرطان است. در این مطالعه ابتدا داده‌های ترانسکریپتوم از سایت NCBI Short read archive دانلود شدند. داده‌ها شامل پنج بافت کلاله، گلبرگ، برگ، پیاز و پرچم هستند. کنترل کیفی داده‌ها توسط نرم‌افزار FastQC و Trimmomatic انجام شده و بعد از آن اسمبلی خوانش‌ها صورت گرفت. پیش‌بینی ژن‌ها توسط نرم‌افزار Trinity صورت گرفت. بیان ژن‌ها با استفاده از نرم‌افزار RSEM سنجیده شده و با استفاده از داده‌ای موجود در مقالات ژن‌های ضد سرطان در مسیر بیوسنتز فنیل پروپانویید با استفاده از مشابهت توالی‌های میان آن‌ها و ژن‌های ساخته شده توسط Trinity با نرم‌افزار BLASTx مورد بررسی قرار گرفتند. از میان ژن‌های موجود در مسیر بیوسنتز فنیل پروپانویید در این مطالعه، برای اولین بار ژن CAD1 که کد کننده آنزیم Cinnamaldhyde است، شناسایی شد، این آنزیم در مسیرهای مختلف باعث جلوگیری از سرطان یا فعالیت تومور زایی می‌شود. در بررسی بیان این ژن مشخص شد که این ژن بیشترین بیان را در بافت‌های گلبرگ و کلاله دارد و کلاله این گیاه علاوه بر خواص ادویه آن می‌تواند به عنوان یک داروی ضد سرطان هم استفاده شود.

کلمات کلیدی: زعفران، ترانسکریپتوم، ژن، مسیر بیوسنتزی

<sup>۱</sup> دانشجوی دکتری مهندسی بیوتکنولوژی، گروه بیوتکنولوژی گیاهی، دانشکده علوم و فناوری‌های زیستی، دانشگاه شهید بهشتی.

<sup>۲</sup>\* نویسنده مسئول، دانشیار بیوتکنولوژی کشاورزی، گروه بیوتکنولوژی گیاهی، دانشکده علوم و فناوری‌های زیستی، دانشگاه شهید بهشتی. ایمیل:

[m\\_tohidfar@sbu.ac.ir](mailto:m_tohidfar@sbu.ac.ir)

## مقدمه

ژنی برای این گیاه در پایگاه داده مذکور ثبت نشده است (Jain et al., 2016).

جدیدترین و کارآمدترین ابزار برای بررسی ترانسکریپتوم بهره‌گیری از روش‌های توالی یابی با توان بالا استفاده از روش RNA-SEQ است. روش RNA-SEQ قادر به شناسایی ایزو فرم‌های مختلف ژن، رخدادهای جابه‌جایی واریانت‌های ژن (شامل انواع متاسیون‌ها) و تغییرات بعد از رونویسی است. یکی از مهم‌ترین اهداف آزمایش‌ها RNA-SEQ تشخیص تغییرات بیان ژن‌ها در دو یا چند شرایط یا RNA-SEQ بافت متفاوت است. یکی از مزیت‌های RNA-SEQ نسبت به روش‌های مرسوم پیشین، امکان کار بر روی ترانسکریپتوم موجوداتی است که ژنوم مرجع آن‌ها موجود نیست (Marguerat and Bähler, 2010).

هدف آنالیز ترانسکریپتوم یا RNA-SEQ پیدا کردن اجزا ژنوم نظیر ژن یا رونوشت‌ها و تفسیر عملکرد آن‌ها است. این روش به جهت اینکه برای شروع و آنالیز کار نیاز به اطلاعات ژنوم مرجع و اطلاعات نقشه ژنی ندارد برای بسیاری از موجودات غیر مدل استفاده می‌شود (Liu et al., 2013). این روش بر پایه توالی یابی است و بر عکس روش‌های سنتی مولکولی نظیر RT-PCR و ریزآرایه و همین‌طور روش‌های پرهزینه توالی یابی سنتی مانند روش توالی یابی سنگر، کار آزمایشگاهی و هزینه بسیار پایین‌تر است. در این روش برخلاف روش توالی یابی سنگر که طول توالی نزدیک به ۱۰۰۰ جفت باز را پوشش می‌دهد، میلیون‌ها قطعه کوچک بین ۷۵ تا ۳۰۰ باز را توالی یابی می‌کند و بخش زمان بر آن قسمت آنالیز بیوانفورماتیک داده است. در سالهای اخیر به جهت RNA-SEQ مزایای متعددی که روش توالی یابی نسبت به روش‌های مرسوم قبلی داشته است، بیشتر مورد استفاده قرار گرفته است. از جمله مزایای این

زعفران به نام علمی *Crocus Sativus* شناخته می‌شود. گیاهی تریپلوبیود و متعلق به خانواده تکلپه‌ها است. گیاهی چندساله است که به طور گستردگی در ایران، هند، یونان، اسپانیا و ایتالیا کشت می‌شود. زعفران به عنوان گران‌ترین ادویه جهان شناخته می‌شود. کلاله زعفران با رنگ قرمز و یا نارنجی به عنوان عامل طعم‌دهنده، رنگ‌آمیزی مواد غذایی استفاده می‌شود. به علاوه زعفران به عنوان یکی از داروهای مؤثر در طب گیاهی و سنتی شناخته می‌شود. اثرات دارویی زعفران عمده‌ای به کروکسین، کروکستین، پیکروکروسین و سافرانال مربوط می‌شود. در مطالعات مختلفی نشان داده شده که به‌واسطه متابولیت‌هایی ذکر شده مسئول رنگ، مزه و بو در گیاه می‌باشند (Khorasany and Hosseinzadeh, 2016; Jain et al., 2016).

کروکسین اثرات درمانی بر روی قسمت‌های مختلف بدن مانند سیستم قلبی عروقی، ایمنی، تنفسی، دستگاه تناسلی و سیستم عصبی مرکز دارد. زعفران نقش کلیدی در درمان اختلالات سیستم گوارش از طریق داروهای شیمیایی، مهار تکثیر سلولی، القا مرگ سلولی، اثرات آنتی‌اکسیدانی و پراکنده‌گری رادیکال را دارند. نتیجه مکانیسم‌های ذکر شده ویژگی‌های بالقوه درمانی زعفران را در برابر سرطان کبد، سمتی کبدی، کبد چرب، سرطان معده، سرطان روده بزرگ، سرطان پانکراس، دیابت و انقباضات Khorasany and Hosseinzadeh, 2016). باوجود اهمیت بالای اقتصادی و دارویی این گیاه تاکنون مطالعات اندکی با روش‌های ارزیابی مولکولی بر روی زعفران انجام شده است. در پایگاه داده NCBI برای این گیاه اطلاعات ژنومی به ثبت نرسیده است. تعداد Expressed sequence tag ثبت شده از زعفران بر روی پایگاه داده NCBI ۶۷۶۸ عدد است و تاکنون

نقشه ژنی و اطلاعات ژنوم می‌بایست نقشه ژنی بر اساس مونتاژ خوانش‌ها و رونوشت‌ها ساخته شود (Grabherr et al., 2011).

مطالعه انجام شده بر روی ترانسکریپتوم زعفران توسط بابا و همکاران در سال ۲۰۱۵ نشان داد که در مسیر کارتونویید و آپوکارتونویید زعفران ژن‌های زیادی دخیل هستند (Baba et al., 2015). جین و همکاران در سال ۲۰۱۶ با بررسی اندام مختلف گیاه زعفران نظیر کلاله، برگ، گل برگ، پیاز و پرچم به مطالعه‌ی پروفایل بیانی این گیاه پرداختند، در مطالعه مذکور بیان ژن‌های مسیر بیوسنتز آپوکارتونویید و همین طور مراحل مختلف رشد کلاله مورد بررسی قرار گرفته است (Jain et al., 2016).

در مطالعات اندک انجام شده بر روی ترانسکریپتوم زعفران بیشتر به بررسی بیان ژن‌ها در مسیر آپوکارتونویید پرداخته شده است. در مطالعه هدف بررسی بیان ژن‌های درگیر ضد سرطان در مسیر فنیل پروپانویید مورد بررسی قرار گرفته است.

با استفاده از نرم‌افزار (Andrews, 2010) FastQC کیفیت خوانش‌ها مورد بررسی قرار گرفت و مشخص شد که بازه‌ای ۱ تا ۱۵ دارای نوسان در توزیع بازه‌ای G و C.T.A است. برای حذف بازه‌ای فوق از نرم‌افزار (Bolger et al., 2014) Trimmomatic استفاده شد. علاوه بر آن بازه‌ای با کیفیت کمتر از Q20 حذف شد، Q20 کیفیت خوانش یک باز توسط دستگاه را نشان می‌دهد و نشان‌دهنده احتمال خطای یک درصد در خوانش باز موردنظر است.

#### اسمبلي ترانسکریپتوم

به منظور اسمبلي رونوشت‌ها از نرم‌افزار Trinity V 2.4.0 استفاده شد. این نرم‌افزار با مونتاژ خوانش‌ها بر اساس مشابهت توالی هر خوانش با خوانش دیگر ابتدا توالی رونوشت‌ها را و سپس توالی ژن‌ها پیش‌بینی می‌شود. برای اسمبلي کردن خوانش‌ها از پروتکل

روش می‌توان به بررسی بیان ژن در موجوداتی که ژنوم مرجع موجود نیست، پیدا کردن اطلاعات ژن‌ها و ایزو فرم‌های جدید و یافتن جهش‌های رخداده بر روی توالی رونوشت است (Wang et al., 2009).

در روش توالی یابی ترانسکریپتوم قطعات توالی تولیدشده توسط دستگاه یا همان خوانش کوتاه (short read) در ابتدا با ژنوم هم‌ردیف می‌شوند و بر اساس نقشه ژنی تعداد خوانش‌های متصل شده به آن ژن شمرده می‌شود. در گیاهانی که ژنوم مرجع ندارد از روش اسمبلي de novo استفاده می‌شود، به این شرح که ابتدا خوانش‌های کوتاه بر اساس شباهت توالی‌ها با هم‌دیگر مونتاژ شده و بر اساس آن رونوشت‌ها ساخته می‌شوند. از مجموع این رونوشت‌ها، ترانسکریپتوم مرجع ساخته می‌شود. از این مرحله به بعد ترانسکریپتوم مرجع مانند ژنوم مرجع است و خوانش‌های کوتاه علیه آن هم‌ردیف می‌شود و تعداد خوانش‌هایی که به هر رونوشت متصل شده شمرده می‌شود. فرق این روش بازمانی که ژنوم مرجع در دسترس است در این است که به جای بهره‌گیری از

#### مواد و روش‌ها

ابتدا با استفاده از کلمات کلیدی نظیر Crocus sativus RNA-SEQ و Saffron Leinonen (NCBI Short read archive (SRA) et al., 2010) جستجو انجام و تمامی فایل‌ها به شناسه پژوهه PRJNA273002 دریافت شد. پس از آن داده‌های خام (فایل‌های SRA) بر روی یک سرور با مشخصات سیستم عامل لینوکس ابونتو ۱۶.۰۴ هسته ۶۴ گیگا بایت RAM ذخیره شدند. پژوهه ذکر شده دارای ۵ فایل متناظر با بافت‌های کلاله، گلبرگ، پیاز، پرچم و برگ است. پس از دانلود داده‌ها با استفاده از نرم‌افزار fastq-dump موجود در مجموعه ابزار SRA toolkit، فایل‌های fastq تبدیل شد.

ژن‌ها و پروتئین‌های شناخته شده در گیاهان دیگر استفاده شد. به منظور این کار با استفاده از نرمافزار (Madden, 2013) Blastp و Blastx (Finn et al., 2011) HMMScan مشابهت توالي‌های اسمبل شده با توالي‌های پاچگاه داده Pfam و Swiss-PROT اقدام شد. در این بررسی مشابهت Subject اطلاعات توالي‌های Query می‌باشد و همان Pfam یا Swiss-PROT ترانسکریپتوم اسمبل شده مرجع است. برای ترجمه ترانسکریپتوم مرجع به توالي اسیدآمینه از نرمافزار Transdecoder استفاده شده است. به منظور بررسی WEGO Gene ontology (Ye et al., 2018) استفاده شده است.

پیدا کردن ژن‌های دخیل در مسیر فنیل پروپانویید (Deng et al., 2016) با استفاده از اطلاعات موجود در مقاله‌ای آرابیدوپسیس از سایت UniProt (Apweiler et al., 2004) دانلود شد و Blastx ترانسکریپتوم مرجع با توالي‌های پروتئین انجام شد. خروجی این مرحله Blastx که دارای توالي‌هایی با حداقل طول ۱۰۰ اسیدآمینه و حداقل مشابهت ۶۰ درصد بودند به عنوان کاندید انتخاب شد. برای بررسی بیان آن‌ها خروجی Blastx این مرحله با ماتریس بیان ژن توسط RSEM ادغام شد.

برای ترانسکریپتوم اسمبل شده مرجع ۴۲/۷۵ درصد بود (جدول ۲). N50 نشان‌دهنده حداقل طول توالي ژن / رونوشت در حداقل ۵۰ درصد از ژن‌ها یا رونوشت‌ها بود (جدول ۲). میزان N50 در ژن‌ها ۱۰۶۱ باز و در رونوشت‌ها ۱۲۰۶ باز بود. میانگین طول ژن‌های اسمبل شده ۸۶۸ باز و میانگین طول رونوشت‌ها ۹۷۱ باز بود (جدول ۲). نتایج نشان داد

استفاده شد (Haas et al., 2013)، در این پروتکل پس از ادغام خوانش‌ها از هر نمونه بافت گیاه در دو فایل مختلف چپ و راست، اقدام به اسمبل کردن آن‌ها با استفاده از نرمافزار Trinity شد. در این قسمت کانتیگ‌هایی که طول زیر ۳۰۰ باز داشتند فیلتر شدند.

كمی سازی بیان ژن‌ها و پیدا کردن بیان ژن‌های افترافقی

در ادامه با استفاده از نرمافزار RSEM (Li et al., 2011) پروفایل بیانی هر بافت بر اساس هم‌ردیف کردن نمونه با ترانسکریپتوم مرجع اسمبل شده محاسبه شد. نرمافزار RSEM یک ماتریس می‌سازد که شماره هر سطر اسم ژن و به تعداد بافت‌ها ستون دارد. تعداد خوانش‌هایی که به هر ژن متصل می‌شود را شمرده و برای هر بافت در ستون متناظر آن قرار می‌دهد. از ماتریس ساخته شده توسط Robinson et al. (2013) برای کشف ژن‌های بابیان افتراقی استفاده شد. ژن‌هایی با Pvalue کمتر از ۰/۰۵ و logFC بیشتر از ۱ یا کمتر منفی ۱ به عنوان معنی‌دار در نظر گرفته شد.

### تفسیر عملکردی

با توجه به اینکه ژن‌هایی که توسط Trinity پیش‌بینی شده‌اند فقط توالي هستند، در این مرحله به منظور پیدا کردن عملکرد ژن یا رونوشت پیش‌بینی شده، از مشابهت توالي‌های پیش‌بینی شده با دیگر

### نتایج و بحث

طول خوانش‌های خام دارای ۱۰۱ باز است که پس از کنترل کیفی ۱۵ باز آن حذف شده است، تعداد کل خوانش‌های توالي یابی شده هر بافت بین ۱۷ میلیون تا ۲۴ میلیون خوانش است (جدول ۱). پس از مرحله اسمبلی با نرمافزار Trinity تعداد ۸۶۸۴۲ ژن و GC ۲۴۰۹۴۶ رونوشت به دست‌آمده است. میزان

که میزان مشابهت ترانسکریپتوم مرجع با پروتئین‌های یافت شده Swiss-PROT توسط نرمافزار Blastx برابر با ۸۳/۹۵ درصد و با نرمافزار HMMScan شده با استفاده از نرمافزار Blastp ۸۴/۹۸ درصد است. میزان دومین‌های یافت درصد بوده است (جدول ۲).

جدول ۱- اطلاعات خوانش‌های مربوط به هر بافت

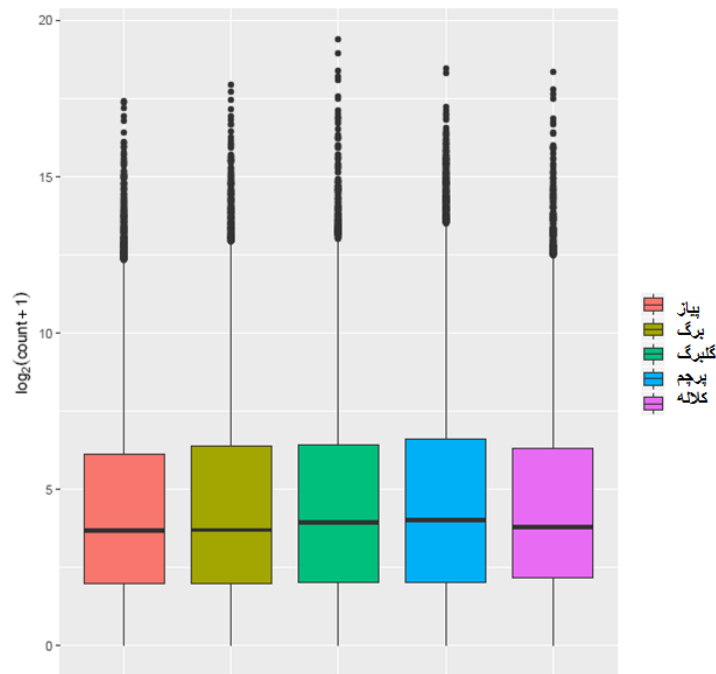
بافت	از کنترل کیفی	طول خوانش قبیل کنترل	تعداد خوانش پس از کنترل کیفی	تعداد خوانش پس از کنترل
پیاز	۱۰۱	۸۶	۱۷۹۶۶۱۰۸	۱۷۹۵۵۱۱۵
برگ	۱۰۱	۸۶	۱۸۸۲۵۱۷۲	۱۸۸۱۶۰۷۹
گلبرگ	۱۰۱	۸۶	۲۴۱۴۴۳۸۷	۲۴۱۴۴۳۸۷
پرچم	۱۰۱	۸۶	۱۹۲۶۷۷۹۴	۱۹۲۵۸۸۶۶
کلاله	۱۰۱	۸۶	۲۴۱۵۶۴۹۱	۲۲۹۲۲۳۲۴

جدول ۲- خلاصه اطلاعات اsemblی و اطلاعات عملکردی با پایگاه داده‌ها

پارامتر	تعداد	درصد
تعداد ژن‌ها	۸۶۸۴۲	-
تعداد رونوشت‌ها	۲۴۰۹۴۶	-
میزان GC	۴۲.۷۵	-
میزان N50 در ژن	۱۰۶۱	-
میانگین طول ژن	۸۶۷	-
تعداد بازه‌ای استفاده شده در اsemblی ژن‌ها	۷۵۳۴۸۳۹۳	-
میزان N50 در رونوشت	۱۲۰۶	-
میانگین طول رونوشت	۹۷۱	-
تعداد بازه‌ای استفاده شده در اsemblی رونوشت	۲۳۳۹۷۲۹۶۴	-
تعداد پروتئین‌های مشابه یافت شده با استفاده از Blastx	۲۰۲۲۹۳	۸۳.۹۵
تعداد پروتئین‌های مشابه یافت شده با استفاده از Blastp	۲۰۴۷۶۵	۸۴.۹۸
تعداد دومین‌های یافت شده با استفاده از HMMScan	۱۱۲۵۵۰	۴۶.۷۱

نمودار جعبه‌ای دارای ۴ چارک است چارک اول که بیان آن‌ها بین ۰ تا ۲/۲۵ بوده‌اند. چارک دوم، سوم و چهارم بیان آن‌ها به ترتیب بین ۲/۲۵ تا ۳/۵، ۳/۵ تا ۵/۵ و ۵/۵ تا ۱۲/۲ است.

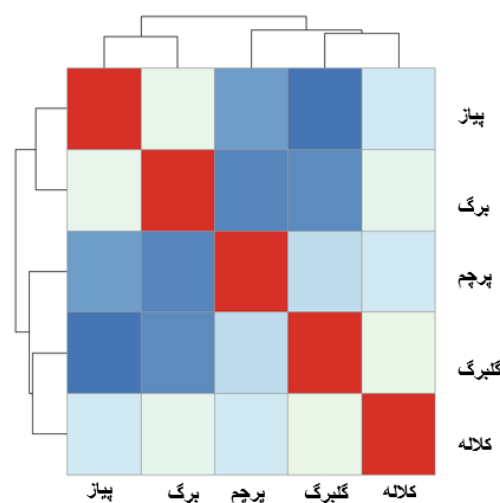
RSEM ماتریس بیان ژن‌های ایجادشده توسط مشخص کرد که ۵ بافت مورد بررسی دارای بروفايل بیانی یکنواختی است. این نتیجه با نمودار جعبه‌ای ساخته شده از  $\log_2$  ماتریس مذکور ساخته شد.



شکل ۱- نمودار جعبه‌ای پروفایل بیانی هر بافت

ترتیب، پیاز و برگ پروفایل بیانی مشابهی دارند. کلاله و گلبرگ و پرچم دارای مشابهت بیشتر است. از طرفی به طور معنی‌داری پروفایل بیانی کلاله و گلبرگ بیشتر به یکدیگر نزدیک می‌باشند. درنهایت در این نمودار ۵ بافت دو گروه تقسیم‌شده است که پیاز و برگ با یکدیگر در یک گروه هستند و پرچم، گلبرگ و کلاله نیز در گروه دوم قرار گرفته‌اند.

به منظور یافتن میزان نزدیکی و دوری پروفایل بیانی هر بافت از نمودار گرافیکی Correlation heatmap استفاده شد (شکل ۲). این نمودار برای نشان دادن میزان مشابهت پروفایل بیانی بافت‌های مختلف به صورت سلسله مراتبی است که بر اساس اطلاعات تعداد خوانش‌های متصل شده به هر ژن رسم شده است. این نمودار بافت‌هایی با پروفایل بیانی مشابه را دو به دو باهم در یک گروه قرار می‌دهد. طبق شکل به



شکل ۲- نمودار Heatmap به منظور بررسی همبستگی ترانسکریپتوم بین بافت‌های مورد مطالعه

(down) در هر مقایسه دوبهدو نشان داده شده است. آستانه Fold-change بین ۲ و منفی ۲ در نظر گرفته شده است. در مقایسات مشخص شد بیشترین تفاوت بیان ژن‌ها بین بافت پرچم و کلاله با ۹۸۶ ژن که ۸۸ ژن بیان بالاتری در بافت کلاله نسبت به پرچم و ۸۹۹ ژن بیان پایین‌تری در بافت کلاله نسبت به پرچم داشته است. کمترین تفاوت بیان بین بافت‌های گلبرگ و کلاله با ۲۶۴ ژن است. که ۴۲ ژن در کلاله بیان بالاتری نسبت به بافت گلبرگ و ۲۲۳ ژن در بافت کلاله بیان پایین‌تری نسبت به بافت گلبرگ داشته است. علاوه بر این، بر اساس مقایسات مشخص شد که بافت پرچم بیشترین ژن‌های بابیان بالا را دارد. در این بررسی ژن‌های بابیان بالا در بافت پرچم نسبت به کلاله ۸۹۹ ژن، پرچم نسبت به پیاز ۸۶۴ ژن و پرچم نسبت به برگ ۴۵۷ ژن بیان بالاتری داشته است. به همین خاطرنشان داده می‌شود که بافت پرچم تفاوت بیانی بیشتری نسبت به دیگر بافت‌های زعفران دارد.

به منظور بررسی پروفایل بیان بافت‌های مختلف می‌باشد خوانش‌های باکیفیت را با ترانسکریپتوم مرجع هم‌تراز کرد. بین ۹۱ تا ۹۵ درصد از خوانش‌های پنج بافت مورد بررسی، به ترانسکریپتوم مرجع هم‌تراز شدند. برای این کار از پروتکل نرم‌افزار RSEM استفاده شد. برای هم‌تراز کردن خوانش‌ها، Langmead et al., (2009) استفاده می‌کند و پس از به دست آمدن فایل خروجی هم‌تراز شده، RSEM شروع به شمارش تعداد خوانش‌های متصل شده به هر ژن می‌کند. بعد از این مرحله تعداد خوانش‌های مربوط به هر ژن در هر بافت در یک ماتریس ادغام می‌شود. ماتریس خروجی نرم‌افزار RSEM با استفاده از R و edgeR برای پیدا کردن ژن‌های بابیان افتراقی استفاده شده است.

نتایج بیان افتراقی در جدول ۳ آورده شده است. این جدول شامل اطلاعات تمام ژن‌های زعفران است که به صورت متفاوت بین دو بافت بیان شده و به علاوه تعداد ژن‌های دارای بیان بالا (up) و بیان پایین

جدول ۳ – بررسی بیان افتراقی بین بافت‌های مختلف

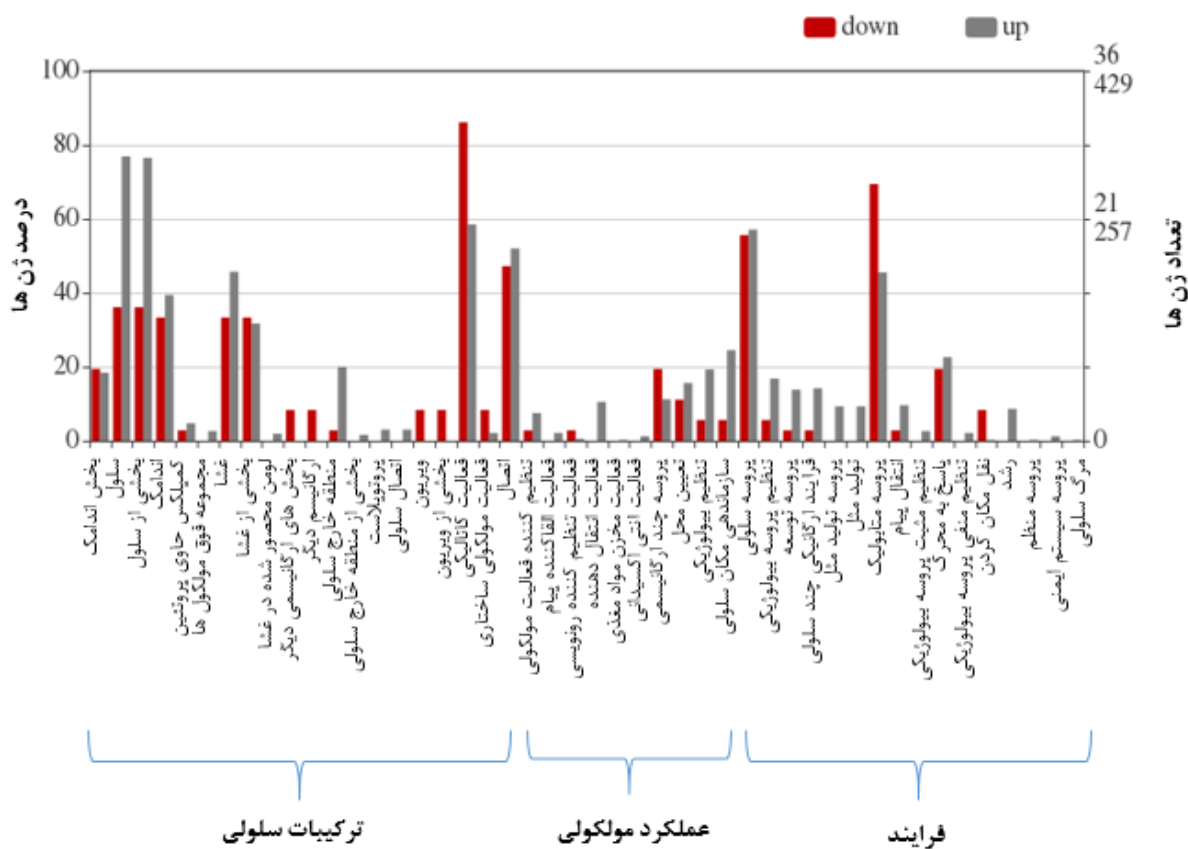
بافت ۱	بافت ۲	تعداد ژن‌های بابیان افتراقی بالا در بافت ۲	تعداد ژن‌های بابیان افتراقی بالا در بافت ۲	تعداد ژن بیان پایین در بافت ۲
پیاز	برگ	۴۵۴	۴۳۰	۲۵
پیاز	گلبرگ	۷۰۲	۵۷۷	۱۲۶
پیاز	پرچم	۹۳۱	۸۶۴	۶۸
پیاز	کلاله	۲۸۷	۲۳۷	۵۱
برگ	گلبرگ	۵۴۶	۲۷۱	۲۷۵
برگ	پرچم	۷۴۵	۴۵۷	۲۸۹
برگ	کلاله	۲۹۲	۷۵	۲۱۸
گلبرگ	پرچم	۳۶۴	۲۰۱	۱۶۳
گلبرگ	کلاله	۲۶۴	۴۲	۲۲۳
پرچم	کلاله	۹۸۶	۸۸	۸۹۹

شد بیشتر ژن‌های بابیان بالا در کلاله در قسمت‌های غشا و اجزای آن، منطقه خارج سلولی و اجزا سلول

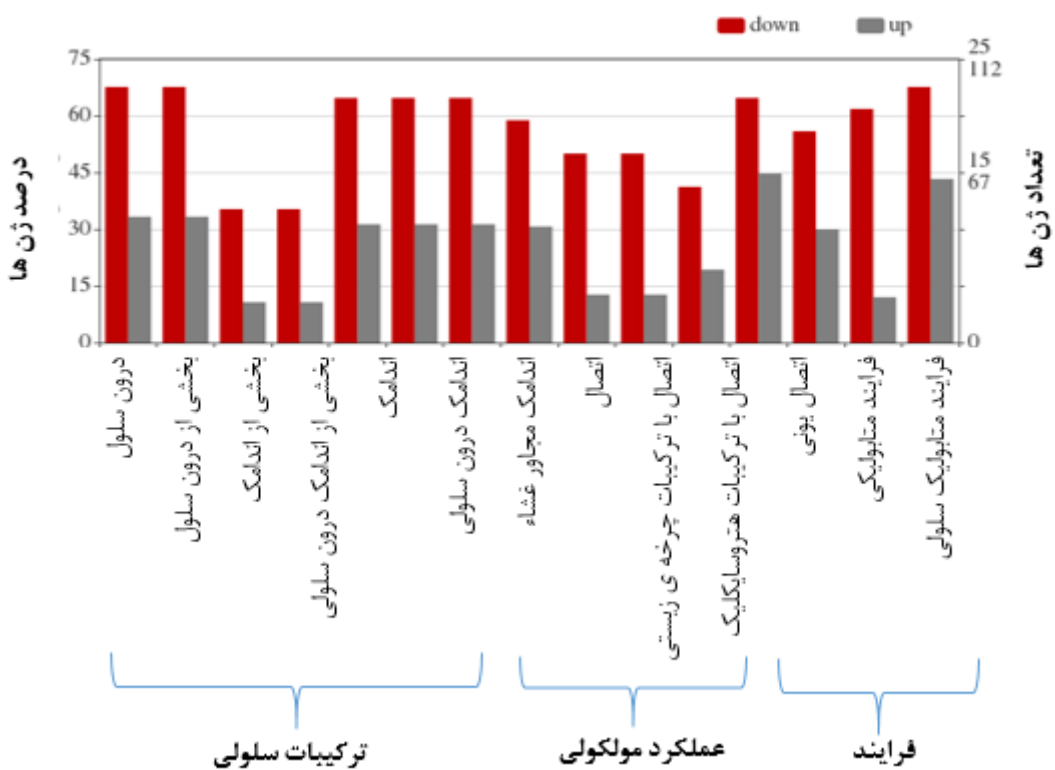
GO بین بافت پرچم و کلاله از طریق سایت WGO آنالیز شد. در آنالیز اجزا سلولی مشخص

اجزا سلولی ژن‌ها بابیان کم در کلاله در قسمت‌هایی نظیر اجزا درون‌سلولی و اندامک‌های سلولی بوده است. در بررسی عملکرد مولکولی ژن‌های بابیان کم در کلاله بیشتر در اتصال ترکیب‌های چرخه زیستی و اتصال یون‌ها بوده است. در آنالیز مسیر زیستی نیز ژن‌های بابیان کم در کلاله بیشتر در پروسه‌های سلولی، پروسه‌های متابولیک و پروسه‌های سنتز زیستی نقش داشته‌اند (شکل ۴).

قرارگرفته‌اند. در آنالیز عملکرد مولکولی مشخص شد که ژن‌های بابیان پایین در کلاله در فعالیت کاتالیکی نقش داشته است. در آنالیز مسیر زیستی مشخص شد ژن‌های بابیان بالا در کلاله بیشتر در پروسه‌های سلولی نظیر پروسه تکاملی سلول نقش داشته‌اند و پروسه‌های متابولیک شامل ژن‌هایی است که در کلاله بیان پایین داشته است (شکل ۳). آنالیز GO بین بافت گلبرگ نسبت به کلاله نیز انجام شد. در آنالیز



شکل ۳- بررسی Gene ontology بافت پرچم نسبت به کلاله (down و up در بافت کلاله است).

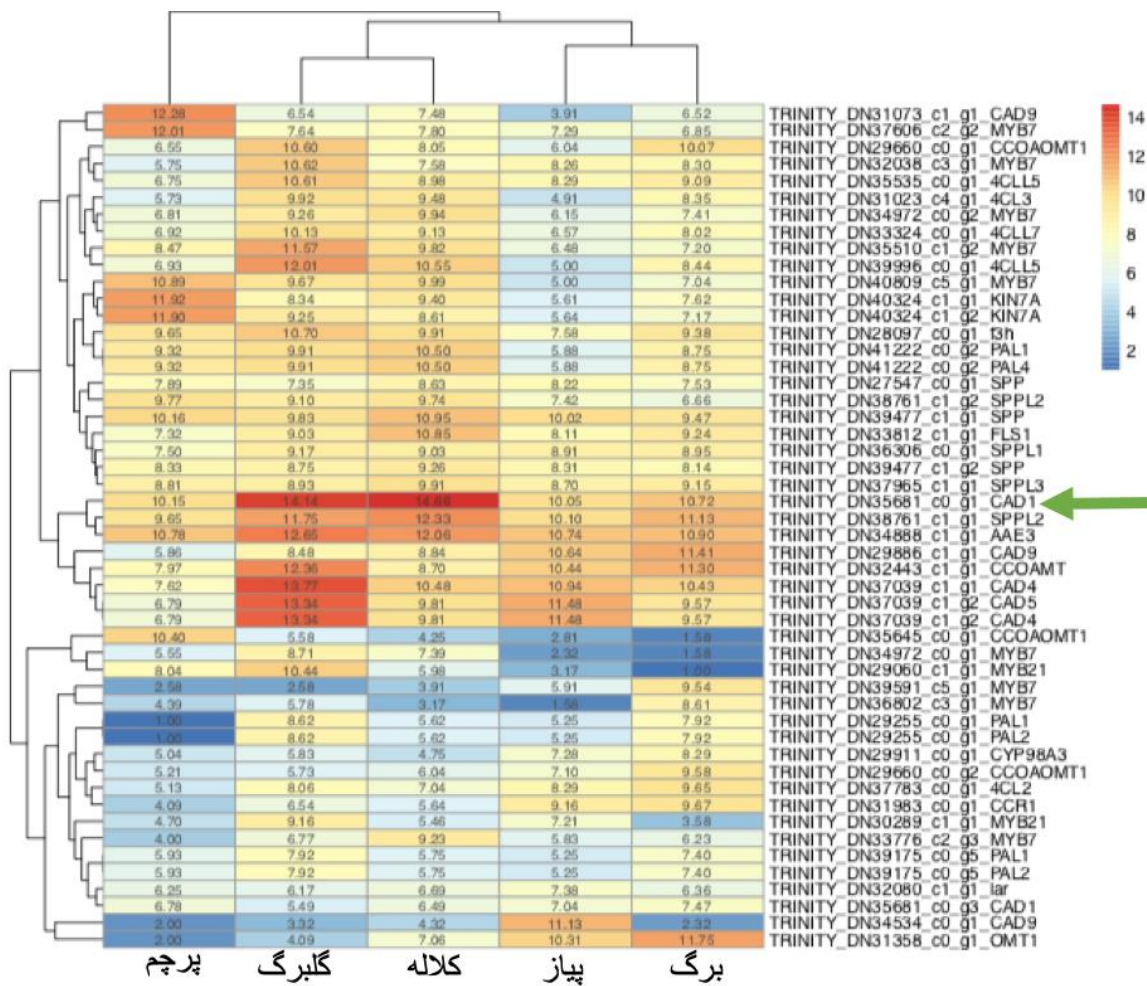


شکل ۴- بررسی Gene ontology بافت گلبرگ نسبت به کلاله (down و up در بافت کلاله است).

اساس  $\log_2$  از تعداد خوانش‌ها است. رنگ آبی و رنگ قرمز به ترتیب مربوط به بیان کم و بیان بالا است. ژن‌هایی که پروفایل بیانی مشابه دارند در یک کلاستر واقع شده‌اند. در این شکل ژن‌ها به دو گروه بایان پایین و بالا تقسیم شده‌اند، ژن‌هایی که بیان بالایی دارند همانند ژن CAD1 و خانواده CAD بارنگ متمایل به قرمز در یک کلاستر قرار گرفته است. به عنوان نمونه از ژن‌های بایان پایین، ژن OMT1 بارنگ متمایل به آبی در پایین نمودار مشخص شده است. در بالای نمودار نحوه کلاستر شدن بافت نشان داده شده است. بر همین اساس برگ و پیاز در یک کلاستر، کلاله و گلبرگ در گروه دیگر و پرچم نیز به تنها‌یی در کلاستر دیگر قرار گرفته است.

برای پیدا کردن ژن‌های مؤثر ضد سرطان در ترانسکریپتوم مرجع زعفران از مقاله دنگ و همکاران سال ۲۰۱۶ برای انتخاب ژن‌ها استفاده شد. مقاله یادشده شامل ژن‌های متعدد در مسیر فنیل پروپانویید و فلاونویید بوده است. پس از جستجو در سایت UniProt تعداد ۶۰ توالی پروتئین مشابه به ژن‌های مسیر فنیل پروپانویید و فلاونویید از گیاه آرابیدوپسیس دانلود شد و با ترانسکریپتوم مرجع Blastx شدند. شکل ۵ نشان‌دهنده خروجی Blastx ادغام شده با ماتریس بیانی ساخته شده توسط RSEM است.

در این شکل میزان بیان ژن‌های کاندید ضد سرطان در بافت‌های مختلف آورده شده است. بیان ژن‌ها علاوه بر عدد بارنگ نیز مشخص شده است که بر



شکل ۵- شکل Heatmap ژن‌های مؤثر ضد سرطان در مسیر فنیل پروپانویید و فلاونویید و بیان آن‌ها در بافت‌های مختلف زعفران

et al., 2009; Chabannes et al., 2001 عصاره سینامالدهید از پوست گیاه دارچین استخراج می‌شود و نقش مهمی در درمان سرطان دارد. اثر سمی این ماده بر روی انواع سرطان‌ها نظیر سرطان خون، روده، کبد، رحم و ریه اثبات شده است. سینامالدهید در سطح مولکولی با تغییراتی نظیر جلوگیری از تکثیر القا مرگ سلولی، عدم رگ زایی، جلوگیری از متاستاز و سرکوب التهاب توموری باعث جلوگیری از بروز سرطان می‌شود (Carvalho et al., 2015; Larasati and Meiyanto, 2018; Dutta and Chakraborty, 2018). در مطالعه روی سرطان روده بزرگ از این ماده به عنوان یک داروی جدید و عامل القاکننده مرگ سلولی، چسبندگی سلول و

در مطالعه حاضر، ژن CAD1 برای اولین بار از طریق آنالیز ترانسکریپتوم زعفران به دست آمده است. ژن CAD1 کننده C9H8O (Cinnamaldehyde) با ترکیب شیمیایی (Cinnamaldehyde) است. این ژن در گیاه آراییدوپسیس به صورت فراوان در مسیرهای توسعه رشدی گیاه به صورت فعالانه عمل می‌کند (Kim et al., 2004). خانواده این ژن دارای چندین نسخه از این ژن بر روی ژنوم است، و به سه کلاس اصلی تقسیم‌بندی می‌شود. ژن‌های Lignin یک و دو ژن CAD بیشتر در توسعه کلاسیک و دو ژن CAD میزان در گیاه نقش دارد و با کم شدن بیان ژن CAD دیگر ژن‌های کلاس دو و سه در عملکرد بافت‌های Barakat گیاه تحت تنش‌های زیستی نقش دارد (

بیشترین بازده را دارند انتخاب شده و پس از مخلوط کردن تعداد مشخص از بافت کلاله برای بررسی ترانسکریپتوم آن و خصوصاً ژن CAD1 اقدام نمود.  
**نتیجه‌گیری کلی**

از میان ژن‌های انتخاب شده در مسیر بیوسنتر فلاونویید و فنیل پروپانویید تعدادی در زعفران بیان شده‌اند. از میان آن‌ها یکی از ژن‌هایی که بیان بالایی در بین رونوشت‌های بیان شده داشته ژن CAD1 است. این ژن که کد کننده پروتئین cinnamyl alcohol dehydrogenase می‌باشد در گلبرگ و کلاله بیشترین بیان را دارا بوده است. این ژن در مسیر بیوسنتر فنیل پروپانویید قرار دارد و برای اولین بار است که با استفاده از آنالیز داده‌های ترانسکریپتوم در زعفران شناخته شده است. ژن CAD1 که کد کننده پروتئین Cinnamaldehyde طب سنتی در درمان سرطان استفاده می‌شود (۲۳).

مهارکننده مسیر سیگنال دهی PI3K/Akt نامبرده شده است (Li et al., 2016).

اگرچه پیش‌ازین مطالعاتی در زمینه خواص ضد سرطانی زعفران گزارش شده، ولی بهطور خاص بیان ژن‌های ضد سرطان در آن‌ها انجام نشده است. این مطالعه سعی نموده تا علاوه بر بررسی ژن‌هایی که در مسیر آپوکارتنویید هستند، ژن‌های جدیدی را نیز در این مسیر ضد سرطان کشف کند. یکی از نکات کلیدی در این مطالعه بیان بالای ژن CAD1 در کلاله زعفران است که بیشترین مصرف خوراکی را در بین بافت‌های دارد. با توجه به بومی بودن این گیاه می‌توان به عنوان منبعی غنی از ماده سینامالدهید مورد استفاده قرار گرفته شود. با گسترش روزافرون استفاده از طب سنتی و گیاهان دارویی پیشنهاد می‌شود که به صورت جداگانه مطالعه کامل‌تری بر روی خواص متابولیکی بافت‌های مختلف زعفران و همین‌طور آزمایش عصاره این بافت‌های بر روی رده‌های سلولی یا حیوانات آزمایشگاهی انجام شود. برای مطالعه بیشتر پیشنهاد می‌شود ارقامی که

generation and analysis. *Nature protocols*, 8, 1494.

12. Li, B. and Dewey, C.N. (2011). RSEM: accurate transcript quantification from RNA-Seq data with or without a reference genome. *BMC bioinformatics*, 2, p 323.

13. Robinson, M.D., McCarthy, D.J. and Smyth, G.K. (2010). edgeR: a Bioconductor package for differential expression analysis of digital gene expression data. *Bioinformatics*, 26, 139-140.

14. Madden, T. (2013). The BLAST sequence analysis tool. In The NCBI Handbook [Internet]. 2nd edition. National Center for Biotechnology Information (US)

15. Finn, R.D., Clements, J. and Eddy, S.R. (2011). HMMER web server: interactive sequence similarity searching. *Nucleic acids research*, 39, 29-37.

16. Ye, J., Zhang, Y., Cui, H., Liu, J., Wu, Y., Cheng, Y., Xu, H., Huang, X., Li, S., Zhou, A. and Zhang, X. (2018). WEGO 2.0: a web tool for analyzing and plotting GO annotations, 2018 update. *Nucleic acids research*, 46, 71-75.

17. Deng, N., Chang, E., Li, M., Ji, J., Yao, X., Bartish, I.V., Liu, J., Ma, J., Chen, L., Jiang, Z. and Shi, S. (2016). Transcriptome characterization of *Gnetum parvifolium* reveals candidate genes involved in important secondary metabolic pathways of flavonoids and stilbenoids. *Frontiers in plant science*, 7, p 174.

18. Apweiler, R., Bairoch, A., Wu, C.H., Barker, W.C., Boeckmann, B., Ferro, S., Gasteiger, E., Huang, H., Lopez, R., Magrane, M. and Martin, M.J. (2004). UniProt: the universal protein knowledgebase. *Nucleic acids research*, 32, 115-119.

19. Langmead, B., Trapnell, C., Pop, M. and Salzberg, S.L. (2009). Ultrafast and memory-efficient alignment of short DNA sequences to the human genome. *Genome biology*, 10, p 25.

20. Kim, S.J., Kim, M.R., Bedgar, D.L., Moinuddin, S.G., Cardenas, C.L., Davin, L.B., Kang, C. and Lewis, N.G. (2004). Functional reclassification of the putative cinnamyl alcohol dehydrogenase multigene family in *Arabidopsis*. *Proceedings of the National Academy of Sciences*, 101, 1455-1460.

21. Barakat, A., Bagniewska-Zadworna, A., Choi, A., Plakkat, U., DiLoreto, D.S., Yellanki, P. and Carlson, J.E. (2009). The cinnamyl alcohol dehydrogenase gene family

## منابع

1. Khorasany, A.R., Hosseinzadeh, H. (2016). Therapeutic effects of saffron (*Crocus sativus* L.) in digestive disorders: a review. *Iranian journal of basic medical sciences*, 19, 455-462.
2. Jain, M., Srivastava, P.L., Verma, M., Ghangal, R. and Garg, R. (2016). De novo transcriptome assembly and comprehensive expression profiling in *Crocus sativus* to gain insights into apocarotenoid biosynthesis. *Scientific reports*, 6, 22456.
3. Marguerat, S. and Bähler, J. (2010). RNA-seq: from technology to biology. *Cellular and molecular life sciences*, 7, 569-679.
4. Liu, T., Zhu, S., Tang, Q., Chen, P., Yu, Y. and Tang, S. (2013). De novo assembly and characterization of transcriptome using Illumina paired-end sequencing and identification of CesA gene in ramie (*Boehmeria nivea* L. Gaud). *BMC genomics*, 14, 125-137.
5. Wang, Z., Gerstein, M. and Snyder, M. (2009). RNA-Seq: a revolutionary tool for transcriptomics. *Nature reviews genetics*, 10, 57-68.
6. Grabherr, M.G., Haas, B.J., Yassour, M., Levin, J.Z., Thompson, D.A. and Amit, I. (2011). Full-length transcriptome assembly from RNA-Seq data without a reference genome. *Nature biotechnology*, 29, 644-658.
7. Baba, S.A., Mohiuddin, T., Basu, S., Swarnkar, M.K., Malik, A.H. and Wani, Z.A. (2015). Comprehensive transcriptome analysis of *Crocus sativus* for discovery and expression of genes involved in apocarotenoid biosynthesis. *BMC genomics*, 16, 698-712.
8. Leinonen, R., Sugawara, H., Shumway, M. and Collaboration, INSD. (2010). The sequence read archive. *Nucleic acids research*, 39, 19-21.
9. Andrews, S. (2010). FastQC: a quality control tool for high throughput sequence data.
10. Bolger, A.M., Lohse, M. and Usadel, B. (2014). Trimmomatic: a flexible trimmer for Illumina sequence data. *Bioinformatics*, 30, 2114-2120.
11. Haas, B.J., Papanicolaou, A., Yassour, M., Grabherr, M., Blood, P.D., Bowden, J., Couger, M.B., Eccles, D., Li, B., Lieber, M. and MacManes, M.D. (2013). De novo transcript sequence reconstruction from RNA-seq using the Trinity platform for reference

24. Larasati, Y.A. and Meiyanto, E. (2018). Revealing the Potency of Cinnamon as an Anti-cancer and Chemopreventive Agent. *Indonesian Journal of Cancer Chemoprevention*, 9, 47-62.
25. Dutta, A. and Chakraborty, A. (2018). Cinnamon in Anticancer Armamentarium: A Molecular Approach. *Journal of toxicology*.
26. Li, J., Teng, Y., Liu, S., Wang, Z., Chen, Y., Zhang, Y., Xi, S., Xu, S., Wang, R. and Zou, X. (2016). Cinnamaldehyde affects the biological behavior of human colorectal cancer cells and induces apoptosis via inhibition of the PI3K/Akt signaling pathway. *Oncology reports*, 35, 1501-1510.
- in *Populus*: phylogeny, organization, and expression. *BMC Plant Biology*, 9, p 26.
22. Chabannes, M., Barakate, A., Lapierre, C., Marita, J.M., Ralph, J., Pean, M., Danoun, S., Halpin, C., Grima-Pettenati, J. and Boudet, A.M. (2001). Strong decrease in lignin content without significant alteration of plant development is induced by simultaneous down-regulation of cinnamoyl CoA reductase (CCR) and cinnamyl alcohol dehydrogenase (CAD) in tobacco plants. *The Plant Journal*, 28, 257-270.
23. Carvalho, A.A. and Andrade, L.N. (2015). de Sousa ÉBV, de Sousa DP. Antitumor phenylpropanoids found in essential oils. *BioMed research international*.

## Phenylpropanoid gene expression analysis in saffron using transcriptome data

Mahbobe Dehghan<sup>1</sup>, Masoud Tohidfar<sup>2</sup>

### Abstract

Today, saffron is a known strategic plant in agricultural. It knowns as the most expensive spice and also has several medical usage in traditional medicine. One of the most important usage of saffron is in cancer prevention and cancer therapy. In this study data were downloaded from website NCBI short read archive, which contains five different tissue mRNA sequences, stigma, tepal, leaf, corm and stamen. After downloading raw data, quality control and trimming were done. Then, gene expression quantification was done using RSEM software, and finally blastx was applied between reference assembled transcriptome and some of known genes in phenylpropanoid biosynthesis pathway. In this study, for the first time we report expression of CAD1 which codes the Cinnamaldehyde enzyme, it has several reports on its anticancer and anti-tumor effects. The expression level of CAD1 was high in Stigma and Tepal, which means Stigma could be used as anti-cancer drugs as well as its spice.

**Keywords:** Saffron, Transcriptum, Gene, Biosynthetic pathway

<sup>1</sup> PH.D student of Biotechnology Engineering, Department of Plant Biotechnology, Faculty of Science and Biotechnology, Shahid Beheshti University, Tehran, Iran.

<sup>2</sup> \* Corresponding author, Associate Professor of Agricultural Biotechnology, Department of Plant Biotechnology, Faculty of Science and Biotechnology, Shahid Beheshti University, Tehran, Iran, Email: [m\\_tohidfar@sbu.ac.ir](mailto:m_tohidfar@sbu.ac.ir).